

**сообщения
объединенного
института
ядерных
исследований
дубна**

P1-91-2

И.Б.Иссинский, В.А.Михайлов

**БУСТЕР-НАКОПИТЕЛЬ НА ЭНЕРГИЮ
200 МэВ/нуклон УСКОРИТЕЛЬНОГО КОМПЛЕКСА
ЛВЭ ОИЯИ**

1991

1. Введение

Непрерывное развитие ускорительного комплекса ЛВЭ при одновременной его эксплуатации на физический эксперимент является главной задачей лаборатории. Завершающим этапом реализации проекта нуклотрона^{1/} является его монтаж в 1991 г. Пусконаладочные работы и эксплуатация ускорителя на первом этапе будут выполняться на базе действующего инжектора. Интенсивно используемые в настоящее время пучки синхротрона обладают рядом специфических и рекордных параметров, что позволяет проводить на них многие актуальные исследования в области ядерной физики. С запуском нуклотрона пространственно-временные характеристики пучков существенно улучшатся, будут созданы новые пучки (таблица 1). Дальнейшее значительное развитие сооружаемого ускорительного комплекса, в особенности интенсивности его пучков, может дать бустер^{2,3,4/}.

Сооружение промежуточного кольца - теплог бустера-накопителя на энергию 200 МэВ/нуклон по ядрам и 650 МэВ по протонам с использованием существующего инжектора ЛУ-20 позволит существенно расширить возможности проведения экспериментов на нуклотроне как в области высоких, так и средних энергий, улучшит характеристики пучков и ослабит требования к эксплуатационным параметрам основного кольца. При этом имеется возможность разместить бустер периметром 50 м в цокольном этаже существующего здания, расположенного в непосредственной близости от линейного ускорителя ЛУ-20 и нуклотрона. Настоящее предложение является новым вариантом имевшегося ранее проекта бустера, существенно улучшенного по своим параметрам и оптимизированного по техническим решениям. Последнее позволяет намного сократить сроки и стоимость его сооружения.

За счет накопления частиц в бустере и пяти циклов инъекций в основное кольцо не менее чем на порядок повысится импульсная интенсивность комплекса, и для легких ионов (протонов и дейтронов) она составит $\sim 10^{13}$ частиц в импульсе. Это позволит получать в Дубне, помимо пучков релятивистских ядер и поляризованных дейтронов, конкурентоспособные пучки π -мезонов, антипротонов, K -мезонов.

Один из больших прямолинейных промежутков бустера-накопителя предназначен для установки в нем системы электронного охлаждения, позволяющей уменьшить эмиттанс пучка на один - два порядка и довести импульсный разброс до $10^{-4} - 10^{-5}$. При этом, соответственно, умень-

шатся размеры пучка на мишенях и примерно в 2 раза сократятся потери при медленном выводе частиц из нуклотрона в диапазоне энергий от сотен МэВ на нуклон до максимальной.

При переводе пучка из одного ускорителя в другой прохождение перезарядной мишени повысит зарядность, что, в свою очередь, позволит повысить конечную энергию тяжелых ионов на выходе нуклотрона.

Кроме этого, бустер-накопитель может быть использован как отдельный ускоритель для проведения исследований на внутренних и внешних мишенях в широком диапазоне энергий, начиная от десятков МэВ на нуклон. Длительность вывода при максимальной энергии составляет около 300 нс. Имеющаяся система питания позволяет обеспечить частоту повторения циклов 1 Гц. При увеличении мощности системы питания цикличность работы бустера может быть, соответственно, повышена.

Для оценки затрат на сооружение бустера-накопителя следует принять во внимание:

- его периметр в 5 раз меньше периметра основного кольца;
- не требуются гелиево-рефрижераторная система и сверхпроводящие элементы;
- в связи с последовательной во времени работой основного и промежуточного колец будет использована система электропитания сверхпроводящего кольца;
- для размещения бустера может быть приспособлено имеющееся помещение.

Немаловажным является имеющийся опыт и технологическая база производства магнитов в Опытном производстве. Таким образом, объём трудозатрат данного проекта может быть, по крайней мере, в пять раз меньше трудозатрат на сооружение нуклотрона.

2. Схема работы и основные параметры бустера

Частота повторения импульсов бустера в настоящее время определяется возможностями систем питания ЛУ-20 и принята равной 1 Гц. При увеличении мощности ВЧ-генератора линейного ускорителя и системы электропитания основного кольца эта частота может быть увеличена. Из линейного ускорителя производится накопление пучка путём многооборотной инъекции в бустер, откуда после ускорения пучок переводится в основное кольцо, в котором происходит накопление пяти сгустков. Длина орбиты бустера составляет $1/5$ орбиты основного коль-

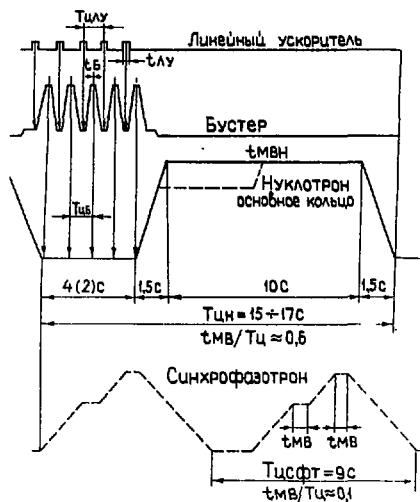


Рис.1. Временная диаграмма работы бустера и основного кольца.

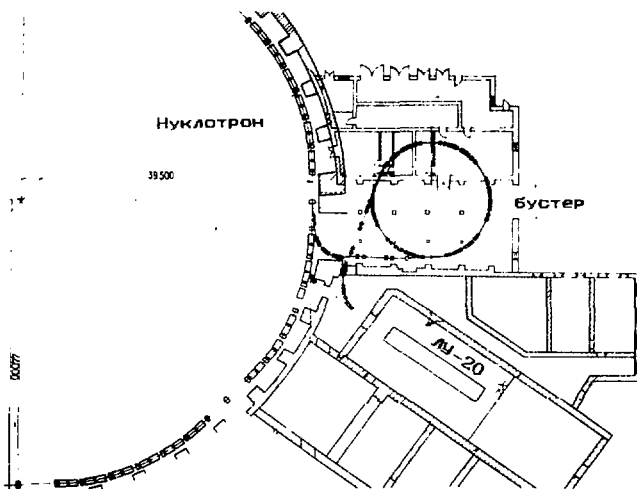


Рис.2. Общая схема ускорительного комплекса.

ца, что соответствует 5 циклам заполнения последнего. Это позволяет вести накопления ионов в нуклотроне в течение 4 секунд, после чего пучок ускоряется и выводится из основного кольца. Временная диаграмма совместной работы бустера и нуклотрона представлена на рис. 1.

Для накопления ионов в бустере возможно применение следующих способов многооборотной инжекции:

- многооборотная инжекция с заполнением горизонтального акцептанса ускорителя за счет смещения локального искажения горизонтальной проекции замкнутой орбиты;
- высокочастотное накопление ионного пучка;
- многооборотная инжекция с заполнением 4-мерного поперечного фазового пространства ускорителя с помощью линейного разностного резонанса связи бетатронных колебаний;
- инжекция ионов с перезарядкой.

Наиболее простым и распространенным способом накопления ионов является заполнение радиального акцептанса ускорителя. Длительность инжекции, ее эффективность и, соответственно, количество инжектируемых частиц может быть существенно увеличено, если для накопления использовать также и вертикальный акцептанс кольца^{5/}. Предварительный анализ показал, что при полностью согласованной однооборотной инжекции ионов в нуклотрон (для равных горизонтального и вертикального акцептансов магнитной структуры основного кольца, $A_x = A_z = 40\pi$ мм.мрад) предпочтительной является многооборотная инжекция ионов в бустер с заполнением поперечного 4-мерного фазового пространства с помощью линейного разностного резонанса связи $Q - \bar{Q} = 0$. При возбуждении этого резонанса продольным магнитным полем соленоида вертикальные и горизонтальные бетатронные колебания протекают синфазно^{6/}; в момент наибольшего отклонения по горизонтали на азимуте инфлектора их вертикальное отклонение также становится максимальным. Это позволяет частицам в случае применения инфлектора с ограниченным вертикальным размером осуществлять его обход на наиболее опасных оборотах с большей вероятностью.

Оценим время накопления ионов таким способом применительно к бустеру нуклотрона. Эмиттанс линейного ускорителя ЛУ-20 40π мм.мрад согласован с акцептансом основного кольца. Это означает, что эмиттанс выведенного из бустера пучка также должен быть равен или меньше эмиттанса линейного ускорителя. Учитывая адиабатическое уменьшение эмиттанса при его ускорении в синхротроне в k раз, где

$k = (B\rho)_{\max} / (B\rho)_{inj}$ - отношение максимальной магнитной жесткости к магнитной жесткости при инжекции. аксептанс бустера, заполняемый при многооборотной инжекции, будет составлять

$$A_x = kE_x \quad ; \quad A_z = kE_z .$$

Для энергии инжекции 5 МэВ/нуклон и максимальной 200 МэВ/нуклон величины магнитной жесткости, соответственно, равны 0.647 Тл.м и 4.3 Тл.м, что дает значение $k = 6.65$. Тогда поперечный аксептанс бустера равен $A_x = A_z = 2600$ мм.мрад. Таким образом, при заполнении аксептанса синхротрона появляется возможность накопления частиц в пределе за время $k^2 = 44$ оборота. Для периода обращения ядер в бустере при инжекции $T = 1.6$ мкс ($\beta = 0.103$) время инжекции составит 70 мкс (35 мкс для протонов).

В Лаборатории высоких энергий успешно эксплуатируются четыре типа ионных источников: дуоплазмотрон, электронно-лучевой и лазерный источники, источник поляризованных дейтронов. Их усовершенствованные варианты¹¹ также будут использованы в новом инжекционном комплексе.

Длительность импульса ядер из линейного ускорителя с использованием лазерного и электронно-лучевого источников лежит в пределах 10 - 25 мкс, что позволяет накапливать ионы в бустере практически без потерь. Максимальный выигрыш в интенсивности в случае использования бустера получается при эксплуатации ионных источников типа дуоплазмотрон и "Полярис", длительность импульса токов которых равна 400 - 500 мкс.

В таблице 1 приведены импульсные интенсивности нуклотрона с действующим линейным ускорителем ЛУ-20, бустером и модернизированными ионными источниками.

Схема размещения ускорительного комплекса показана на рис.2.

Эффективной процедурой, существенно улучшающей параметры ионного пучка, является электронное охлаждение. В принципе системы электронного охлаждения могут быть установлены как в бустере, так и в основном кольце комплекса, что по предварительным оценкам позволит:

- уменьшить примерно на порядок импульсный разброс и эмиттанс циркулирующих и выведенных пучков;
- снизить потери частиц в процессе инжекции и ускорения в бус-

тере и нуклотроне;

- повысить до 98 - 99 % эффективность медленного вывода пучков из нуклотрона в диапазоне энергий от нескольких сотен МэВ на нуклон до 6 ГэВ/нуклон.

Особо следует рассмотреть возможность электронного охлаждения для накопления ионов в бустере и нуклотроне. Однако уже сегодня ясно, что совместная работа двух синхротронов существенно расширит возможности проведения экспериментов и улучшит характеристики пучков за счет следующих процедур: накопления ионов в бустере, последовательного ускорения (а возможно, замедления) частиц в обоих кольцах, охлаждения ионных пучков, повышения зарядностей при переводе ионов из одного кольца в другое.

Сравнительно просто будет решена в бустере проблема ускорения поляризованных дейтронов, так как деполаризационные резонансы до четвертого порядка включительно при частотах бетатронных колебаний $Q_x = Q_z = 2,25$ в данном интервале энергий отсутствуют.

Перспектива ускорения ионов урана определяет требования к давлению остаточного газа в вакуумной камере бустера, которое при потерях ионов урана, составляющих несколько единиц процентов, из-за перезарядки должно быть $\sim 10^{-10}$ Торр.

3. Магнитная структура бустера

Для реализации многократной инжекции пучка из ПКУ в нуклотрон отношение их периметров не должно быть точно равно целому числу. Малое отличие от целого числа обеспечивает скольжение фазы циркулирующего в ПКУ пучка относительно фаз накопленных в нуклотроне сгустков. Это позволяет осуществлять перевод пучка в окрестности максимальной энергии в процессе ускорения в промежуточном кольце. В нашем случае отношение периметров было выбрано равным 4,979, что соответствует периметру ПКУ 50,52 м и накоплению в нуклотроне пяти сгустков, разброс равновесных импульсов которых не превышает $(\Delta p/p) = 3 \cdot 10^{-4}$.

Магнитная структура бустера состоит из 6 периодов, в каждый из которых входят квартет квадрупольных линз ФФДОД и два секторных дипольных магнита. Образующиеся при этом в каждом периоде два прямолинейных промежутка длиной 2,6 м между дипольными магнитами и 0,9 м между линзами Д предназначены для размещения систем ввода, вывода, ускорения, коррекции, индикации и охлаждения ионного пучка.

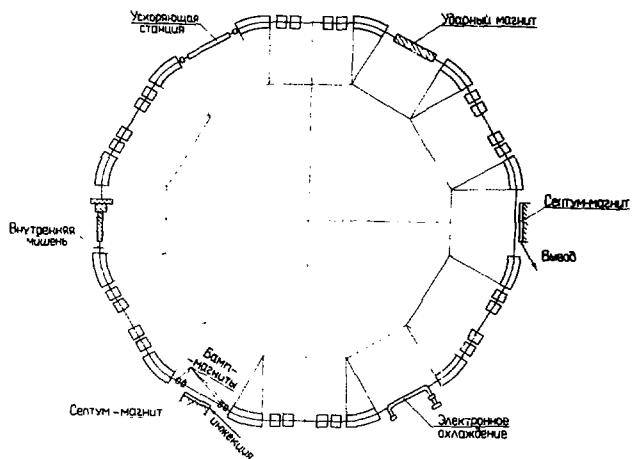


Рис.3. Размещение основного оборудования в кольце бустера.

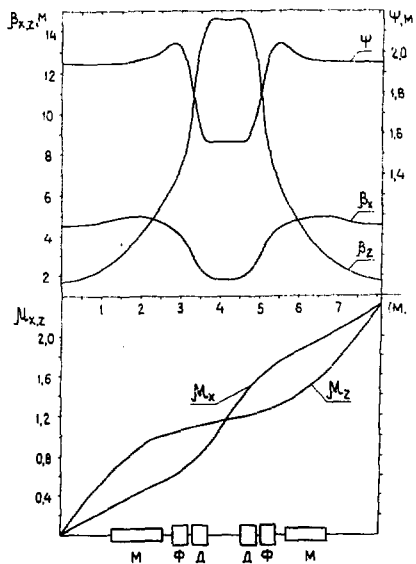


Рис.4. Динамические характеристики периода бустера.

Система ввода включает в себя инжекционный септум-магнит, четыре бамп-магнита, создающие локальное искажение замкнутой орбиты на участке ввода, и соленоид, продольное поле которого возбуждет линейный разностный резонанс связи. Система однооборотного быстрого вывода состоит из 2-метрового ударного магнита и выводного септум-магнита.

Размещение оборудования в кольце бустера показано на рис. 3. Схема периода и его динамические характеристики для частот бетатронных колебаний $Q_x = Q_z = 2,25$ приведены на рис. 4 и в таблице 2.

При заданных параметрах инжектируемого пучка выбор апертур структурных элементов производится из условия увеличения импульсной интенсивности ионного пучка за счет накопления, примерно, на порядок.

Основные параметры магнитной структуры нуклотрона даны в таблице 3.

4. Апертуры структурных элементов

Апертуры структурных дипольных и квадрупольных магнитов должны включать в себя следующие области.

а) Накопленный, а затем ускоряемый пучок.

Величина акцептанса этой области была определена в предыдущем разделе ($A_x = A_z = 260 \mu\text{м.мрад}$). К этому должно быть добавлено пространство для радиальных синхротронных колебаний, амплитуда которых при адиабатическом захвате в режим ускорения составляет $\Delta p/p \approx 4 \cdot 10^{-3}$.

Искажения и нестабильность во времени равновесной орбиты пучка оценены в 5 - 6 мм. На неучтенные погрешности оставлен зазор между пучком и стенкой вакуумной камеры 5 - 7 мм.

Толщина стенок камеры и ее элементов, расположенных в межполюсном пространстве магнитов, лежит в пределах от 3 до 18 мм.

Поскольку дипольные магниты имеют секторную форму, сагитта в них отсутствует. Схематическое изображение магнита дано на рис. 5.

б) Инфлекторное устройство и инжектируемый пучок.

Инфлекторное устройство располагается на краю огибающей накопленного пучка. Инжектируемый пучок имеет поперечное сечение в

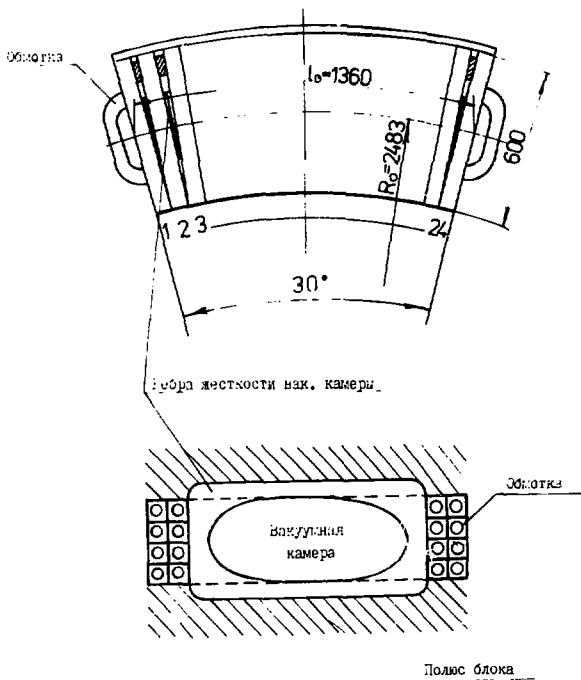


Рис. 5. Схема структурного дипольного магнита бустера.

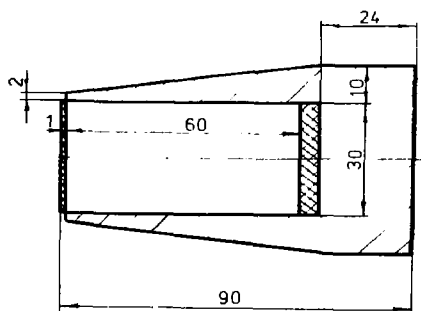


Рис. 6. Поперечное сечение инжекционного септум-магнита.

инфлекторном магните $X*Z = 40*35 \text{ мм}^2$. На колебания частиц, обходящих инфлектор по вертикали отведено такое же пространство, как и для накопленного пучка. Поперечное сечение инфлекторного септума магнита показано на рис. 6.

в) Выведенный пучок и выводные устройства.

Поскольку вывод, как и инжекция, осуществляются на наружном радиусе ускорителя (но занимают разные азимутальные участки), а эмиттансы этих пучков имеют одинаковую величину (40х мм.мрад), пространство отведенное для инжекции используется и для транспортировки выводимого пучка от ударного магнита до выводного септума магнита.

Слагаемые апертур структурных элементов и их конечные значения представлены в таблице 4.

Кроме вышеуказанного апертура магнитных элементов зависит от размеров стандартного проводника, используемого для обмоток, характеристик систем питания и др.

В итоге были приняты следующие значения апертур структурных элементов:

дипольный магнит $X*Z = 192*104 \text{ мм}^2$,

квадрупольная линза – диаметр вписанной окружности $\varnothing = 180 \text{ мм}$,

параметр гиперболических полюсов $X*Z = 4050 \text{ мм}^2$.

Поперечные сечения дипольных магнитов и квадрупольных линз приведены, соответственно, на рис. 7 и 8.

5. Система электропитания.

Для питания структурных элементов бустера-накопителя может быть использована система питания инвертора. Это возможно благодаря тому, что их работа будет осуществляться во времени последовательно (см. рис. 1). С учетом этого фактора, а также других параметров ускорителя (см. табл. 3) максимальный ток в диполях при 16 витках в обмотке составляет 9.5 кА и в квадрупольях 8.4 кА при 3 витках на полюс.

Средняя за время инжекции мощность, потребляемая кольцом, составит около 1.2 МВт, среднесуточная – в 2 – 3 раза меньше. Средняя эффективная плотность тока в обмотках дежит в пределах 12 – 13 А, что соответствует плотности тока, рекомендуемой по экономическим

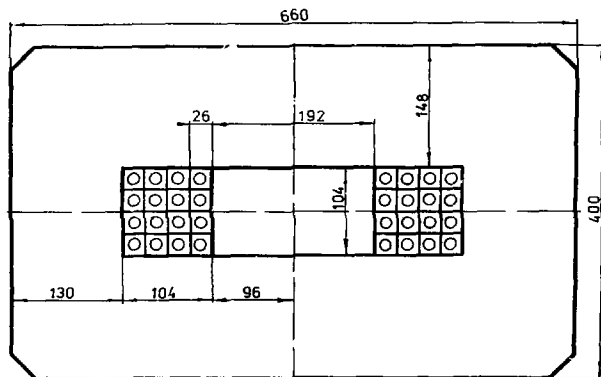


Рис.7. Поперечное сечение структурного дипольного магнита.

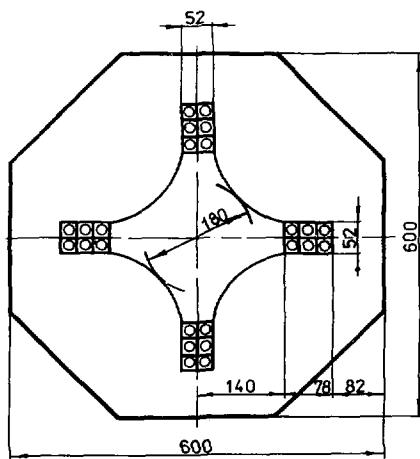


Рис.8. Поперечное сечение структурной квадрупольной линзы.

соображениям.

Время установления максимального тока при существующей системе питания, имеющей напряжение $U = 450$ В, определяется цепью последовательно включенных обмоток дипольных магнитов и составляет

$$T_{ц} / 2 = \frac{L}{R} \ln\left[1 / \left(1 - \frac{RI_{\max}}{U}\right)\right] = 0,433 \text{ с.}$$

Здесь $L = 0,0013$ Гн - общая индуктивность диполей. $R = 0,3$ Ом - их общее омическое сопротивление. Приведенные параметры соответствуют частоте повторения циклов бустера 1.2 Гц.

6. Заключение

Предложен новый вариант бустера-накопителя, намного улучшающего параметры ускорительного комплекса ЛВЭ. Предлагаемые технические решения позволяют в значительной мере использовать имеющееся оборудование, сооружения и здания, что сокращает стоимость проекта и время его сооружения.

Авторы приносят искреннюю благодарность всем сотрудникам лаборатории, с которыми обсуждались затронутые в данной работе проблемы.

Литература

1. Baldin A.M. et al. IEEB Trans. Nucl. Sci., NS-30, 1983, p3247.
2. Балдин А.М. и др. ОИЯИ, Р9-9702. Дубна, 1976.
3. Балдин А.М. и др. ОИЯИ, 9-11796. Дубна, 1978.
4. Белов В.П. и др. ОИЯИ, 9-11650, Дубна, 1978.
5. Титов В.А., Шукейло И.А. ЖТФ, XXXVIII, 10, 1968, с.1752.
6. Громов А.М., Черенков П.А. Труды III Всесоюзного совещ. по ускорителям заряженных частиц. II, М., 1973, с.110.
7. Безногих Ю.Д. и др. ОИЯИ, Р1,2-89-631. Дубна, 1989, с.185.

Рукопись поступила в издательский отдел
3 января 1991 года.

ПРИЛОЖЕНИЕ.

Таблица 1.

Импульсные интенсивности нуклотрона с действующим линейным ускорителем ЛУ-20, ЛУ-20 и бустером. ЛУ-20, бустером и модернизированными ионными источниками^{17/}.

Элемент	Тип источника	ЛУ-20	ЛУ-20 + бустер	ЛУ-20 + бустер + модерн.источн.
		частицы/импульс		
P	дуоплазмотрон	2.10 ¹¹	2.10 ¹³	> 2.10 ¹³
H ¹⁺ 2	дуоплазмотрон	1.10 ¹¹	1.10 ¹³	> 1.10 ¹³
He ²⁺ 4	дуоплазмотрон	1.10 ¹⁰	7.10 ¹¹	> 7.10 ¹¹
d ⁺	полярис	5.10 ⁸	1.10 ¹⁰	(1-2).10 ¹¹
C 12	лазерный	1.10 ¹⁰	2.10 ¹¹	2.10 ¹²
Mg 24	лазерный	6.10 ⁸	1.10 ¹⁰	1.10 ¹¹
Ar 40	эл-лучевой	1.10 ⁵	1.10 ⁶	5.10 ⁸
Kr 84	эл-лучевой	1.10 ⁴	2.10 ⁵	2.10 ⁸
Xe 131	эл-лучевой	1.10 ⁴	1.10 ⁵	1.10 ⁸
U 238		-	-	~ 10 ⁷

Динамические характеристики периода магнитной
структуры бустера-накопителя

N/N ЭЛЕМЕНТ	ДЛИНА ПОЛЕ		БЕТАХ	ALPHAХ	БЕТАZ	ALPHAZ
	М	Тл. Тл/М	М		М	
0	0.00	0.000	4.4939	0.00000	1.6740	0.00000
1 промежуток	1.30	0.000	4.8700	-0.28928	2.6835	-0.77660
2 магнит	1.30	1.500	4.6176	0.46535	5.7123	-1.55320
3 промежуток	0.24	0.000	4.4094	0.40212	6.4922	-1.69657
4 1/2линзы Ф	0.20	5.072	4.0288	1.46613	7.5802	-3.84181
5 1/2линзы Ф	0.20	5.072	3.2786	2.21644	9.6785	-6.83947
6 промежуток	0.12	0.000	2.7727	2.00004	11.3911	-7.43186
7 1/2линзы Д	0.20	-5.623	2.1845	0.99979	13.7649	-4.19737
8 1/2линзы Д	0.20	-5.623	1.9402	0.24596	14.6154	0.03082
9 промежуток	0.45	0.000	1.8296	0.00000	14.6015	0.00000
10 промежуток	0.45	0.000	1.9402	-0.24596	14.6154	-0.03082
11 1/2линзы Д	0.20	-5.623	2.1845	-0.99979	13.7649	4.19737
12 1/2линзы Д	0.20	-5.623	2.7727	-2.00003	11.3911	7.43186
13 промежуток	0.12	0.000	3.2786	-2.21644	9.6785	6.83947
14 1/2линзы Ф	0.20	5.072	4.0288	-1.46613	7.5802	3.84181
15 1/2линзы Ф	0.20	5.072	4.4094	-0.40212	6.4922	1.69657
16 промежуток	0.24	0.000	4.6176	-0.46535	5.7123	1.55319
17 магнит	1.30	1.500	4.8700	0.28928	2.6836	0.77659
18 промежуток	1.30	0.000	4.4939	0.00000	1.6740	-0.00001

N/N ЭЛЕМЕНТ	PSI	DPSI	MUX	MUZ	HIX	HIZ
M						
0	1.9540	0.00000	0.0000	0.0000	0.0000	0.0000
1 промежуток	1.9540	0.00000	0.2816	0.6603	-0.0774	0.3013
2 магнит	2.0248	0.10652	0.5465	0.9988	-0.1716	0.2808
3 промежуток	2.0504	0.10652	0.5997	1.0382	-0.1847	0.2540
4 1/2линзы Ф	2.0159	-0.44976	0.6467	1.0670	-0.1929	0.2275
5 1/2линзы Ф	1.8721	-0.98166	0.7013	1.0905	-0.1936	0.1958
6 промежуток	1.7543	-0.98166	0.7411	1.1020	-0.1869	0.1741
7 1/2линзы Д	1.6092	-0.47637	0.8233	1.1178	-0.1599	0.1347
8 1/2линзы Д	1.5618	0.00000	0.9215	1.1317	-0.1169	0.0935
9 промежуток	1.5618	0.00000	1.1627	1.1625	0.0000	0.0000
10 промежуток	1.5618	0.00000	1.4039	1.1933	0.1169	-0.0934
11 1/2линзы Д	1.6092	0.47637	1.5022	1.2073	0.1599	-0.1347
12 1/2линзы Д	1.7543	0.98166	1.5844	1.2231	0.1869	-0.1741
13 промежуток	1.8721	0.98166	1.6242	1.2345	0.1936	-0.1958
14 1/2линзы Ф	2.0159	0.44976	1.6787	1.2581	0.1929	-0.2275
15 1/2линзы Ф	2.0504	-0.10652	1.7258	1.2869	0.1847	-0.2540
16 промежуток	2.0248	-0.10652	1.7790	1.3263	0.1716	-0.2808
17 магнит	1.9540	0.00000	2.0438	1.6648	0.0774	-0.3013
18 промежуток	1.9540	0.00000	2.3254	2.3251	0.0000	0.0000

Таблица 3.
Основные параметры магнитной структуры бустера-накопителя.

1. Общие данные.

Энергия инжекции	ядер с $q/A=0,5$ протонов	5 МэВ/нуклон 20 МэВ
Максимальная энергия	ядер с $q/A=0,5$ протонов	200 МэВ/нуклон 650 МэВ
Магнитная жесткость при инжекции	максимальная	0,647 Тл.м 4,3 Тл.м
Периметр		50,52 м
Кулоновский предел по интенсивности		$2 \cdot 10^{12}$ А/д ² част./цикл
Длительность инжекции		70 мкс

Длительность ускорения	0.5 с
Ускоряющее напряжение, максимальное	1.5 кВ
Критическая энергия	5.6 ГэВ
2. Структура и магнитные элементы	
Количество периодов типа ФФДОД	6
дипольных магнитов	12
квадрупольных линз	24
Индукция в дипольных магнитах	
при инжекции	0.261 Тл
максимальная	1.73 Тл
Градиент в линзах Φ	
при инжекции	1.12 Тл/м
максимальный	7.74 Тл/м
Градиент в линзах D	
при инжекции	-1.06 Тл/м
максимальный	-7.06 Тл/м
Радиус кривизны в дипольных магнитах	2.483 м
3. Динамические характеристики структуры и пучка.	
Частоты бетатронных колебаний $Q_{x,z}$	2.25
Коэффициент уплотнения орбит	0,0231
Амплитуда скорректированной орбиты	4 мкм
Акцептанс горизонтальный	260 μ мм.мрад
вертикальный	260 μ мм.мрад
Эмиттанс пучка при инжекции $E_{x,z}$	40 μ мм.мрад
в конце ускорения E_x^{*1}	40 μ мм.мрад
в конце ускорения E_z^{*1}	40 μ мм.мрад
Импульсный разброс при инжекции	$\pm 2 \cdot 10^{-3}$
максимальный	$\pm 4 \cdot 10^{-3}$
в конце ускорения *1	$\pm 2 \cdot 10^{-3}$

*¹ с учетом электронного охлаждения эти значения уменьшатся примерно на порядок

Таблица 4.

Слагаемые апертуры дипольного магнита.

Заполнение	Горизонт. параметр	Горизонт. размер мм	Верт. параметр	Верт. размер мм
Бетатронные колебания (мм.мрад)	$A_x = 260\lambda$	70	$A_z = 260\lambda$	74
Дисперсия орбит	$\Delta r/p = \pm 4 \cdot 10^{-3}$	16	-	-
Искажение и нестабиль- ность орбиты	$a_x = \pm 6$	12	$a_z = \pm 6$	12
Клиренс	$a_{kx} = \pm 7$	14	$a_{kz} = \pm 6$	12
Ввод и вывод	$E_x = 40\lambda$	42	-	-
Вакуумная камера. ребро	18 мм	36	3 мм	6
Итого		190		104

Слагаемые апертуры квадрупольной линзы.

Заполнение	Параметр	Квадруполь Φ		Квадруполь D	
		Горизонт.	Верт.	Горизонт.	Верт.
		размер мм	размер мм	размер мм	размер мм
Бетатронные колебания (мм.мрад)	$A_x = 260\lambda$	72	96	54	140
Дисперсия орбит	$\Delta r/p = \pm 4 \cdot 10^{-3}$	16	-	14	-
Искажение и нестабиль- ность орбиты	$a_x = \pm 5$	10	10	10	10
Клиренс	$a_{kx} = \pm 5$	10	10	10	10
Ввод и вывод	$E_x = 40\lambda$	42	-	40	-
Вакуумная камера. стенка	5 мм	10	10	10	10
Итого		160	126	138	170

НЕТ ЛИ ПРОБЕЛОВ В ВАШЕЙ БИБЛИОТЕКЕ?

Вы можете получить по почте перечисленные ниже книги, если они не были заказаны ранее.

Д9-87-105	Труды X Всесоюзного совещания по ускорителям заряженных частиц. Дубна, 1986. (2 тома)	13 р. 45 к.
Д7-87-68	Труды Международной школы-семинара по физике тяжелых ионов. Дубна, 1986.	7 р. 10 к.
Д2-87-123	Труды Совещания "Ренормгруппа - 86". Дубна, 1986.	4 р. 45 к.
Д4-87-692	Труды Международного совещания по теории малочастичных и кварк-адронных систем. Дубна, 1987.	4 р. 30 к.
Д2-87-798	Труды VIII Международного совещания по проблемам квантовой теории поля. Алушта, 1987.	3 р. 55 к.
Д14-87-799	Труды II Международного симпозиума по проблемам взаимодействия мюонов и пионов с веществом. Дубна, 1987	4 р. 20 к.
Д17-88-95	Труды IV Международного симпозиума по избранным проблемам статистической механики. Дубна, 1987.	5 р. 20 к.
Д14-88-833	Труды рабочего совещания "Современные направления в активационном анализе ОИЯИ". Дубна, 1988	2 р. 40 к.
Д13-88-938	Труды XIII Международного симпозиума по ядерной электронике. Варна, 1988	4 р. 30 к.
Д10-89-70	Труды Международной школы по вопросам применения ЭВМ в физических исследованиях. Дубна, 1988.	2 р. 60 к.
Р2-89-138	Труды семинара "Гравитационная энергия и гравитационные волны". Дубна, 1988	1 р. 10 к.
Д9-89-143	Труды рабочего совещания по генетическому действию корпускулярных излучений. Дубна, 1988	4 р. 30 к.
Д4-89-221	Труды рабочего совещания по разработке и созданию излучателя и детектора гравитационных волн. Дубна, 1988	1 р. 60 к.
Д9-89-62	Труды XI Всесоюзного совещания по ускорителям заряженных частиц. Дубна, 1988 (2 тома)	14 р. 35 к.
Д4,6,16-89-638	Труды Международной конференции по избранным вопросам структуры ядра. Дубна, 1989	3 р. 76 к.
Д9-89-708	Труды II Международного совещания по циклотронам и их применению. Бехин, ЧССР, 1989	4 р. 00 к.

Заказы на упомянутые книги могут быть направлены по адресу: 101000 Москва, Главпочтамт, п/я 79. Издательский отдел Объединенного института ядерных исследований.

**ТЕМАТИЧЕСКИЕ КАТЕГОРИИ ПУБЛИКАЦИЙ
ОБЪЕДИНЕННОГО ИНСТИТУТА ЯДЕРНЫХ
ИССЛЕДОВАНИЙ**

Индекс	Тематика
1.	Экспериментальная физика высоких энергий
2.	Теоретическая физика высоких энергий
3.	Экспериментальная нейтронная физика
4.	Теоретическая физика низких энергий
5.	Математика
6.	Ядерная спектроскопия и радиохимия
7.	Физика тяжелых ионов
8.	Криогеника
9.	Ускорители
10.	Автоматизация обработки экспериментальных данных
11.	Вычислительная математика и техника
12.	Химия
13.	Техника физического эксперимента
14.	Исследования твердых тел и жидкостей ядерными методами
15.	Экспериментальная физика ядерных реакций при низких энергиях
16.	Дозиметрия и физика защиты
17.	Теория конденсированного состояния
18.	Использование результатов и методов фундаментальных физических исследований в смежных областях науки и техники
19.	Биофизика

Иссинский И.Б., Михайлов В.А.
Бустер-накопитель на энергии 200 МэВ/нуклон
ускорительного комплекса ЛВЭ ОИЯИ

P9-91-2

Предложен вариант теплового бустера-накопителя на энергию 200 МэВ/нуклон по ядрам в 650 МэВ — по протонам ускорительного комплекса Лаборатории высоких энергий ОИЯИ. В качестве инжектора используется существующий линейный ускоритель ЛУ-20 с энергией ионов 5 МэВ/нуклон и отношением заряда к массовому числу $q/A > 0,3$. Создание бустера с периметром 50 м и частотой повторения импульсов 1 Гц позволит существенно расширить возможности проведения экспериментов на нуклотроне как в области высоких, так и средних энергий. За счет накопления частиц в бустере и пяти циклов инжекций в основное кольцо не менее чем на порядок повысится импульсная интенсивность тяжелых ионов, а для протонов и дейтронов она составит 10^{13} частиц в импульсе. Один из больших прямолинейных промежутков бустера-накопителя предназначен для установки в нем системы электронного охлаждения, позволяющей уменьшить эмиттанс пучка на один-два порядка и довести импульсный разброс до $10^{-4} \cdot 10^{-5}$. Кроме работы на основное кольцо, бустер-накопитель может быть использован как отдельный ускоритель для проведения исследований на внутренних и внешних мишенях в широком диапазоне энергий.

Работа выполнена в Лаборатории высоких энергий ОИЯИ.

Сообщение Объединенного института ядерных исследований. Дубна 1991

Перевод авторов

Issinsky I.B., Mikhailov V.A.
Booster-Accumulator with the Energy 200 MeV/amu
of the HEL Accelerator Facilities

P1-91-2

A new version of the booster, where beams of nuclei to be stored and accelerated up to 200 MeV/amu (protons up to 650 MeV) is proposed for the accelerator complex at the Laboratory of High Energies, JINR. Now operation linac LU-20, which accelerates ion beams with energy 5 MeV/amu and charge to mass ratio $q/A > 0,3$, is used as an injector. The booster with circumference of 50 m repetition of the cycles 1 c^{-1} substantially enlarges the possibility of the experiment on the nuclotron beams. By means of the multiturn storage in the booster and 5 injection cycles in the main ring the intensity of the heavy ion beams has to increase more than a factor 10. For protons and deuterons it will be about 10^{13} ppp. One of the long straight sections is designed for electron cooling, which will reduce the beam emittance in 10-100 times and give momentum spread to $10^{-4} \cdot 10^{-5}$. Apart from the operation for the main ring the booster can be used independently for research on its inner and outer targets in the wide range of energies.

The investigation has been performed at the Laboratory of High Energies, JINR.

Communication of the Joint Institute for Nuclear Research, Dubna 1991

Редактор М.И.Зарубина. Макет Т.Е.Попеко.

Подписано в печать 4.01.91.

Формат 60x90/16. Офсетная печать. Уч.-изд.листов 1,63.

Тираж 555. Заказ 44030.

Издательский отдел Объединенного института ядерных исследований.
Дубна Московской области.